

la redundancia (p.ej., en la "norma de Lorentz"), $\partial_\mu A^\mu = 0$, identificando cuáles deben ser fijos (exigiendo que $(\partial_\mu \hat{A}^\mu)_+ |0\rangle = 0$).

↑ parte de frecuencia positiva ($\sim \hat{a}$)

Un punto muy interesante es que, si tener un campo Complejo $\underline{\Phi}(x)$ y un Campo de norma (\equiv vectorial sin masa) $A_\mu(x)$, la simetría interna

$$\underline{\Phi}(x) \rightarrow e^{i\theta} \underline{\Phi}(x) \quad \begin{matrix} \leftarrow \text{transformación global} \\ \curvearrowright \text{grupo } U(1) \end{matrix} \quad \begin{matrix} (\text{la} \\ \text{rotación es la misma} \\ \text{en todo el espacio-tiempo}) \end{matrix}$$

puede agrandarse a un conjunto de rotaciones interna local $\underline{\Phi}(x) \rightarrow e^{i\theta(x)} \underline{\Phi}(x)$, $A_\mu(x) \rightarrow A_\mu(x) + \partial_\mu \theta(x)$

con el simple truco de reemplazar en el término

cinético a las derivadas usual por las derivadas covariantes,

$$\boxed{D_\mu \underline{\Phi} = (\partial_\mu + i A_\mu) \underline{\Phi}} \quad \begin{matrix} \leftarrow D_\mu \underline{\Phi} \text{ transforma igual que } \underline{\Phi}: \\ \underline{\Phi} \rightarrow e^{i\theta(x)} \underline{\Phi} \Rightarrow D_\mu \underline{\Phi} \rightarrow e^{i\theta(x)} D_\mu \underline{\Phi} \end{matrix}$$

P.ej.

$$\mathcal{L} = (D_\mu \underline{\Phi})^* D^\mu \underline{\Phi} - m^2 \underline{\Phi}^* \underline{\Phi} \quad \text{para Klein-Gordon.}$$

$\xrightarrow{\text{ajto}}$

contiene $\partial_\mu \underline{\Phi}^* \partial^\mu \underline{\Phi}$ y

términos de interacción $\sim A \underline{\Phi}^* \underline{\Phi}, A^2 \underline{\Phi}^* \underline{\Phi}$

y esto es LA menor en que el potencial electromagnético se couple a los campos con cargas eléctricas ("acoplamiento mínimo")!

El Modelo Estándar entero está basado en este principio de invariancia de norma, utilizando

a campo de normas matriciales $A_{IJ}^{\mu}(x)$

asociado a las "simetrías" local $SU(3) \times SU(2) \times U(1)$

grupo no abeliano; Matrices
no comutan

en lugar del $U(1)$ que tenemos en electro.

En un poco más de detalle: estos campos matriciales $A_{IJ}^{\mu}(x)$, en lugar de transformar como el potencial electromagnético,

$$\begin{aligned} A_{\mu}(x) &\rightarrow A'_{\mu}(x) = A_{\mu}(x) + \partial_{\mu}\Theta(x) \\ &= e^{-i\Theta(x)} (A_{\mu}(x) - i\partial_{\mu}) e^{i\Theta(x)}, \\ &\quad \text{"matrices" } 1 \times 1 \end{aligned}$$

cambian de acuerdo con parámetros ($\alpha = 1, \dots, d$) → "generador" del grupo no abeliano p.ej. $SU(N)$

$$A_{\mu}(x) \rightarrow A'_{\mu}(x) = \exp(-i\theta_{\alpha} T_{\alpha})(A_{\mu}(x) - i\partial_{\mu}) \exp(i\theta_{\beta} T_{\beta})$$

Matrices $N \times N$

La intensidad de campo $F_{IJ}^{\mu\nu}(x)$ se define en este caso como

$$F_{\mu\nu}(x) = \partial_{\mu} A_{\nu} - \partial_{\nu} A_{\mu} + i [A_{\mu}, A_{\nu}]$$

$\neq 0$ en general

$F_{\mu\nu}(x)$ no es invariante de norma, sino que transforma de acuerdo con

$$F_{\mu\nu}(x) \rightarrow F'_{\mu\nu}(x) = \exp(-i\theta^\alpha(x)T_\alpha) F_{\mu\nu}(x) \exp(i\theta^\beta(x)T_\beta).$$

La densidad de la lagrangiana es una generalización de la de Maxwell,

→ interacciones $\sim A^3, A^4$

$$\mathcal{L}_{YM}(A_\mu(x), \partial_\mu A_\nu(x)) = -\frac{1}{4} \text{Tr} [F_{\mu\nu}(x) F^{\mu\nu}(x)].$$

Lagrangiano
de
Yang-Mills

Un ejemplo de un campo de Yang-Mills es el campo glérico (responsable de la interacción fuerte), asociado a transformaciones de norma con grupo $SU(3)$ (matrices complejas 3×3 unitarias y con determinante = 1).

La receta para acoplar un campo de Yang-Mills a campos de materia es la misma que antes. Necesitaremos que el campo de materia tenga para empezar una simetría global bajo el grupo de norma en acción. P.ej., N campos escalares complejos $\Phi_I(x)$ que transforman de acuerdo con

$$\Phi(x) \rightarrow \tilde{\Phi}(x) = e^{i\theta^\alpha T_\alpha} \Phi(x) \quad \leftarrow \text{misma notación } \forall x$$

↑ los N campos empacados en una columna

Tal como en el caso electromagnético (p. 68), si definimos la driftless covariante

$$D_\mu \Phi \equiv (\partial_\mu + i A_\mu) \Phi$$

y reemplazamos en el lagrangiano de Φ a $\partial_\mu \Phi$ por $D_\mu \Phi$ (p.ej., $L = (\partial_\mu \Phi)^* D^\mu \Phi - m^2 \Phi^* \Phi$ en Klein-Gordon), estaremos la simetría global que tenemos se convierte en una simetría local,

$$\Phi(x) \rightarrow \exp(i\Theta^*(x) T_\alpha) \Phi(x)$$

$$(y \quad D\Phi(x) \rightarrow \exp(i\Theta^*(x) T_\alpha) D\Phi(x)).$$

- Para describir a un particular de espín $1/2$, como el electrón, usamos un campo espinorial

↙ un espínorial de Dirac ($= 2$ espínorial de Weyl)
 $\boxed{\Psi_a(x)}$ ↙ en cada punto
 $a = 1, 2, 3, 4$ índice que normalmente no se muestra explícitamente

$$\text{Bajo } x'^m = \Lambda^m{}_n, x^r + c^m, \quad \Psi_a(x) \rightarrow \Psi'_a(x') = M_{ab}(\Lambda) \Psi_b(x)$$

Para que esto tenga sentido, debe ser cierto que

$$M(\Lambda_2) M(\Lambda_1) = M(\Lambda_2 \Lambda_1), \text{ para lo otro modo obtener drásticamente}$$

un distintivo resultado para el nuevo espínor ψ'_a depende de si hacemos una transformación de Lorentz de un jalón o por partes.

Para decir con total precisión qué es un espínor, necesitamos entender exactamente qué son las $M(\Lambda)$, es decir, dar una regla para asociar a cada transformación de Lorentz Λ^{μ}_{ν} una matriz compleja 4×4 $M_{ab}(\Lambda)$, de tal modo que las M^i s satisfagan la misma tabla de multiplicación que las Λ^i s. Matemáticamente, esto significa que las M^i s deben formar una representación del grupo de Lorentz.

No conviene entonces recordar primero los poco más sobre la estructura del grupo de Lorentz. Las Λ^{μ}_{ν} (que en sí mismas forman la representación vectorial del grupo de Lorentz) se definen como todas aquellas matrices reales 4×4 tales que

$$(\Lambda^{-1})^\lambda_\mu (\Lambda^{-1})^\rho_\nu \eta_{\lambda\rho} = (\Lambda^{-1 T})^\lambda_\mu \eta_{\lambda\rho} (\Lambda^{-1})^\rho_\nu = \eta_{\mu\nu},$$

es decir,

$$\boxed{\Lambda^T \eta \Lambda = \eta}$$

→ grup $O(3,1)$

$$(\text{cf. rotaciones: } R^T \mathbf{1} R = \mathbf{1}).$$

← grup $O(3)$

Aemás de las transformaciones discretas

$$P \equiv \begin{pmatrix} 1 & 0 & 0 & 0 \\ 0 & -1 & 0 & 0 \\ 0 & 0 & -1 & 0 \\ 0 & 0 & 0 & -1 \end{pmatrix} \quad \begin{array}{l} \text{Paridad (inversión espacial)}, \\ P^2 = \mathbb{1} \end{array}$$

$$T \equiv \begin{pmatrix} -1 & 0 & 0 & 0 \\ 0 & 1 & 0 & 0 \\ 0 & 0 & 1 & 0 \\ 0 & 0 & 0 & 1 \end{pmatrix} \quad \begin{array}{l} \text{Inversión temporal} \\ T^2 = \mathbb{1}, \quad PT = TP \end{array}$$

Las 1's incluyen 6 transformaciones continuas independientes:

- Rotaciones en el plano 1-2 (o 1-3, o 2-3):

$$(12) \Lambda(\theta_{12}) \equiv \begin{pmatrix} 1 & 0 & 0 & 0 \\ 0 & \cos\theta_{12} & \sin\theta_{12} & 0 \\ 0 & -\sin\theta_{12} & \cos\theta_{12} & 0 \\ 0 & 0 & 0 & 1 \end{pmatrix} \quad \begin{array}{l} \text{Diagrama:} \\ \text{Eje } x^0 \text{ vertical, } x^1 \text{ horizontal, } x^2 \text{ diagonal.} \\ \text{Rotación en el plano } x^1-x^2 \text{ de ángulo } \theta_{12}. \end{array}$$

(Estas 3 rotaciones y sus productos forman el subgrupo más familiar $SO(3) \subset SO^+(3,1) \subset SO(3,1) \subset O(3,1)$.)

- Empujones en la dirección 1 (o 2 ó 3):

$$(01) \Lambda(\alpha_1) \equiv \begin{pmatrix} \cosh\alpha_1 & -\operatorname{senh}\alpha_1 & 0 & 0 \\ -\operatorname{senh}\alpha_1 & \cosh\alpha_1 & 0 & 0 \\ 0 & 0 & 1 & 0 \\ 0 & 0 & 0 & 1 \end{pmatrix} \quad \begin{array}{l} \text{Diagrama:} \\ \text{Eje } x^0 \text{ vertical, } x^1 \text{ horizontal, } x^2 \text{ diagonal.} \\ \text{Movimiento en la dirección } x^1 \text{ de velocidad } v \text{ con rapidez } \gamma. \end{array}$$

"Rapidez" $\left\{ \begin{array}{l} \cosh\alpha_1 = \frac{1}{\sqrt{1-v^2}} = \gamma \\ \operatorname{senh}\alpha_1 = \gamma v \quad (-1 \leq v \leq 1) \end{array} \right.$

(Los 3 empujones y sus productos no forman un subgrupo.)

Cualquier transformación de Lorentz ($\Lambda \in O(3,1)$)
 puede entenderse como una combinación de rotaciones y
 empujones ($\Lambda \in SO^+(3,1)$, el grupo de Lorentz restringido)
 con (posidemente) \pm y/o Γ .

Es posible entender a $SO^+(3,1)$ con base en transformaciones que difieren sob infintesimalmente de la identidad:

$$\Lambda = \mathbb{1} + \omega \iff \Lambda^\mu{}_\nu = \delta^\mu{}_\nu + \omega^\mu{}_\nu, \text{ con } |\omega^\mu{}_\nu| \ll 1.$$

El punto es que haciendo muchas transformaciones infinitesimales sucesivas obtendríamos una transformación finita. En el caso infinitesimal, la condición $\Lambda^\dagger \eta \Lambda = \eta$ implica que

$$(\delta^\lambda{}_\lambda + \omega^\lambda{}_\lambda) \eta_{\mu\nu} (\delta^\nu{}_\rho + \omega^\nu{}_\rho) = \eta_{\lambda\rho}$$

$$\underbrace{\eta_{\lambda\rho} + \omega_{\rho\lambda} + \omega_{\lambda\rho} + \mathcal{O}(\omega^2)}_{= \eta_{\lambda\rho}}$$

es decir, $\boxed{\omega_{\rho\lambda} = -\omega_{\lambda\rho}}$.

Una matriz 4×4 real y antisimétrica

tiene 6 componentes independientes,

justo el número de parámetros continuos

$$\begin{pmatrix} 0 & \cdot & \cdot & \cdot \\ \cdot & 0 & \cdot & \cdot \\ \cdot & \cdot & 0 & \cdot \\ \cdot & \cdot & \cdot & 0 \end{pmatrix}$$

independientes que antes dijimos que especifican una transformación de Lorentz general: 3 ángulos de rotación Θ_{ij} + 3 parámetros de rapidez α_i . ✓

De hecho, podemos ver la propiedad de antisimetría directamente en las matrices de rotaciones ${}^{(ij)}\Lambda(\Theta_{ij})$ y empujones ${}^{(oi)}\Lambda(\alpha_i)$ si tomamos $\Theta_{ij}, \alpha_i \ll 1$.

En concreto, p.ej., ${}^{(12)}\Lambda(\Theta_{12}) = \mathbb{1} + {}^{(12)}\omega(\Theta_{12})$, con

$$\begin{aligned} {}^{(12)}\omega &\equiv \begin{pmatrix} 1-1 & 0 & 0 & 0 \\ 0 & \cos\Theta_{12}-1 & \sin\Theta_{12} & 0 \\ 0 & -\sin\Theta_{12} & \cos\Theta_{12}-1 & 0 \\ 0 & 0 & 0 & 1-1 \end{pmatrix}_{\Theta_{12} \ll 1} \\ &= \Theta_{12} \begin{pmatrix} 0 & 0 & 0 & 0 \\ 0 & 0 & 1 & 0 \\ 0 & -1 & 0 & 0 \\ 0 & 0 & 0 & 0 \end{pmatrix} = \Theta_{12} i J^{(12)} = -\Theta_{12} i J^{(21)}, \end{aligned}$$

Especifica magnitud de transformación Especifica tipo de transformación Generador de rotación en el plano 1-2 (índices ${}^{\mu\nu}$)

y de manera similar, ${}^{(01)}\Lambda(\alpha_1) = \mathbb{1} + {}^{(01)}\omega(\alpha_1)$, con

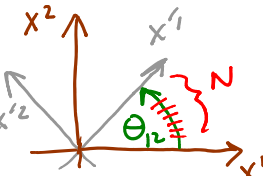
$${}^{(01)}\omega = \alpha_1 \begin{pmatrix} 0 & -1 & 0 & 0 \\ -1 & 0 & 0 & 0 \\ 0 & 0 & 0 & 0 \\ 0 & 0 & 0 & 0 \end{pmatrix} = \alpha_1 i J^{(01)} = -\alpha_1 i J^{(10)}.$$

Generador de empuje en la dirección 1

El resultado general es

$$i J_{\mu\nu}^{(\rho\lambda)} = -\delta_\mu^\rho \delta_\nu^\lambda + \delta_\nu^\rho \delta_\mu^\lambda.$$

Las matrices de rotaciones/empujones se pueden reconstruir a partir de estos generadores:



$$\text{p.ej., } {}^{(12)}\Lambda(\Theta_{12}) = \lim_{N \rightarrow \infty} \left(\mathbb{1} + i \frac{\Theta_{12}}{N} J^{(12)} \right)^N \equiv \exp(i \Theta_{12} J^{(12)}),$$

↑ no infinitesimal

y más en general,

$$\Lambda(\omega) = \lim_{N \rightarrow \infty} \left[\mathbb{1} + \frac{1}{N} \left(-\frac{i}{2} \omega_{xp} J^{(xp)} \right) \right]^N = \exp \left(-\frac{i}{2} \omega_{xp} J^{(xp)} \right).$$

↑ porque hay 2 términos iguales

calculando matriz

ω_{xp} antisimétrica

↑ antisimétrica en x_1^p
antisimétrica en x_2^p

generador
del grupo de Lorentz

Claramente las propiedades de los Λ' s provienen enteramente de las propiedades de los J' s. En particular, la

tabla de multiplicación de los Λ' s resulta estar completamente definida en las relaciones de comutación de los J' s,

$$[J^{(m\nu)}, J^{(p\sigma)}] = i \left(\eta^{m\sigma} J^{(p\nu)} + \eta^{p\nu} J^{(m\sigma)} - \eta^{m\nu} J^{(p\sigma)} - \eta^{p\sigma} J^{(m\nu)} \right)$$

Algebra de Lorentz (los Λ' s forman lo que se conoce como un "grupo de Lie"; los J' s son una base para el "álgebra de Lie" correspondiente).

Hechos entendido lo anterior, veremos que la tarea que tenemos pendiente para definir un espínor, es:

infinitas opciones

matrices $M_{ab}(\Lambda)$ que satisfagan la misma tabla de multiplicación que las Λ^i 's, se reduce a especificar 6 matrices que satisfagan las mismas reglas de commutación que las 6 J^i 's.

Lo que decabrio' Dirac (y Cartan, 15 años antes) es que esto puede lograrse definiendo la llamada representación espacial

$$M(\Lambda) \equiv \exp\left(\frac{i}{2}\omega_{\mu\nu} S^{\mu\nu}\right) \quad \leftarrow \text{rep del grupo } SO(3,1)$$

con $\overset{\uparrow}{\text{caracterizadas}} \quad \overset{\uparrow}{\text{matriz } N \times N}$ (con N que depende de la dimensión del espacio-tiempo)

$$S^{\mu\nu} \equiv \frac{i}{4} [\gamma^\mu, \gamma^\nu] \quad \leftarrow \text{rep del álgebra } so(3,1)$$

$\overset{\uparrow}{\text{matriz } N \times N} \quad [S^{\mu\nu}, S^{\lambda\rho}] = i(\eta^{\mu\rho} S^{\nu\lambda} + \dots)$

dónde las matrices de Dirac $\gamma^0, \gamma^1, \gamma^2, \gamma^3$ son

4 matrices $N \times N$ que satisfacen

$$\boxed{\{\gamma^\mu, \gamma^\nu\} \equiv \gamma^\mu \gamma^\nu + \gamma^\nu \gamma^\mu = 2\eta^{\mu\nu} \mathbb{1}}$$

$\xrightarrow{\text{anticommutador}}$

Álgebra de Clifford (de Dirac)

O, más explícitamente

$$\sum_{b=1}^N \left((\gamma^\mu)_{ab} (\gamma^\nu)_{bc} + (\gamma^\nu)_{ab} (\gamma^\mu)_{bc} \right) = 2\eta^{\mu\nu} \delta_{ac} .$$

Si la dimensión del espacio-tiempo es 4, se puede mostrar que $N=4$: las matrices $\gamma^\mu, S^{\mu\nu}, M$ son matrices complejas 4×4 .

(En D dimensiones espaciotemporales, con D par, $N=2^{\frac{D}{2}}$.

Si D es impar, basta con tener $N=2^{\frac{(D-1)}{2}}$, usando las $\gamma^0, \gamma^1, \dots, \gamma^{D-2}$ que se construirán para dimensión $D-1$, junto con

$\gamma^{D-1} \equiv (i)^{\frac{D-1}{2}} \gamma^0 \gamma^1 \dots \gamma^{D-2}$, que, según se puede mostrar, tiene las propiedades deseadas $\{\gamma^{D-1}, \gamma^0, \dots, \gamma^{D-2}\}=0, (\gamma^{D-1})^2=-1$.

Lo único que nos resta entonces es construir 4 matrices 4×4 $\gamma^0, \gamma^1, \gamma^2, \gamma^3$ que satisfagan $\{\gamma^\mu, \gamma^\nu\}=2\eta^{\mu\nu}$,

lo que es lo mismo,

$$\boxed{(\gamma^0)^2 = +\mathbb{1}, \quad (\gamma^1)^2 = (\gamma^2)^2 = (\gamma^3)^2 = -\mathbb{1}, \\ \gamma^\mu \gamma^\nu = -\gamma^\nu \gamma^\mu \quad \text{si } \mu \neq \nu}.$$

Aquí se los presento:

$$\boxed{\gamma^0 = \begin{pmatrix} 0 & 1 \\ 1 & 0 \end{pmatrix}, \quad \gamma^i = \begin{pmatrix} 0 & \sigma^i \\ -\sigma^i & 0 \end{pmatrix}},$$

con $\sigma^1 = \begin{pmatrix} 0 & 1 \\ 1 & 0 \end{pmatrix}$, $\sigma^2 = \begin{pmatrix} 0 & -i \\ i & 0 \end{pmatrix}$, $\sigma^3 = \begin{pmatrix} 1 & 0 \\ 0 & -1 \end{pmatrix}$ las matrices de Pauli (que satisfacen $\sigma^i \sigma^j = \delta^{ij} \mathbb{1} + i \epsilon^{ijk} \sigma^k$), es decir,

$$\boxed{\gamma^\mu = \begin{pmatrix} 0 & \sigma^\mu \\ \bar{\sigma}^\mu & 0 \end{pmatrix} \quad \text{donde } \sigma^\mu = (1, \vec{\sigma}) \text{ y } \bar{\sigma}^\mu = (1, -\vec{\sigma}) = \sigma_\mu}.$$

Por supuesto, dada otra base γ^{μ} , otras pueden encontrarse mediante un cambio de base: $\gamma^{\mu} \rightarrow \gamma'^{\mu} = B \gamma^{\mu} B^{-1}$
 $\Rightarrow \{\gamma'^{\mu}, \gamma'^{\nu}\} = 2\eta^{\mu\nu} \mathbb{1}$.

La elección de base no cambia nada sustancial, pero algunos aspectos pueden ser más fácil de ver en una base que en otra. Nos preocupearán con la elección indicarán cuál es la mejor (o la base de Weyl).

Juntando todo lo anterior, entenderemos por fin que

un espíñor de Dirac no es ni más ni menos que un paquete de 4 números complejos Ψ_a ($a=1,\dots,4$) tener bajo una transformación de Lorentz $\Lambda = \exp\left(\frac{i}{2}\omega_{\lambda\rho} J^{\lambda\rho}\right)$ se transforman de acuerdo con $\Psi \rightarrow \Psi' = \exp\left(\frac{i}{2}\omega_{\lambda\rho} S^{\lambda\rho}\right) \Psi$, es decir,

$$\Psi_a \rightarrow \Psi'_a = [\exp\left(\frac{i}{2}\omega_{\lambda\rho} S^{\lambda\rho}\right)]_{ab} \Psi_b$$

$$\text{con } S^{\mu\nu} = \frac{i}{4} [\gamma^{\mu}, \gamma^{\nu}], \quad \{\gamma^{\mu}, \gamma^{\nu}\} = 2\eta^{\mu\nu} \mathbb{1}. \quad \xrightarrow{\text{suma implícita}}$$

Y un campo de Dirac es simplemente una función que asigna un espíñor de Dirac a cada punto, $\Psi(x)$.

↑ Indice espínorial a
con siempre queda implícito
(como en $x=x^{\mu}$)

En la base de Weyl, los generadores de Lorentz toman la forma

$$S^{ij} \equiv \frac{i}{4} [\gamma^i, \gamma^j] = \frac{i}{4} \begin{pmatrix} -[\sigma^i, \sigma^j] & 0 \\ 0 & -[\sigma^i, \sigma^j] \end{pmatrix} = \epsilon^{ijk} \begin{pmatrix} \sigma_2^k & 0 \\ 0 & \sigma_2^k \end{pmatrix}$$

para rotaciones y

$$S^{oi} \equiv \frac{i}{4} [\gamma^o, \gamma^i] = \frac{i}{4} \begin{pmatrix} -\sigma^i - \sigma^i & 0 \\ 0 & \sigma^i + \sigma^i \end{pmatrix} = \begin{pmatrix} -i\sigma_2^i & 0 \\ 0 & i\sigma_2^i \end{pmatrix}$$

para comulgaciones.

Podemos notar que las matrices S^{ij} son hermitianas, mientras que las S^{oi} son antihermíticas.

Y vemos, además, que la rep de Dirac es, en cuanto al grupo de Lorentz restringida $SO^+(3,1)$, una rep reducible: los generadores S^{vv} (y ∴ también los elementos del grpo, $M(\lambda) = \exp\left(\frac{i}{2}\omega_{vv} S^{vv}\right)$) son diagonales por bloques, de tal manera que Ψ_1 y Ψ_2 no se mezclan con Ψ_3 y Ψ_4 . (Esto es cierto a pesar de que las matrices 4×4 γ^v si constituirán una rep irreducible del álgebra de Clifford.) En la base de Weyl podemos descomponer entonces a los espinores de Dirac Ψ en 2 subpaquetes $\Psi_I \equiv \begin{pmatrix} \Psi_1 \\ \Psi_2 \end{pmatrix}, \Psi_D \equiv \begin{pmatrix} \Psi_3 \\ \Psi_4 \end{pmatrix}$

conocidos como espinores de Weyl:

$$\Psi = \begin{pmatrix} \Psi_I \\ \Psi_D \end{pmatrix} \leftarrow \begin{array}{l} \text{espinor izquierdo} (= \text{de 'quiralidad' negativa}) \\ \text{espinor derecho} (= \text{de 'quiralidad' positiva}) \end{array}$$

que transforman por separado bajo Lorentz, con generadores

$$S_I^{ij} \equiv \epsilon^{ijk} \frac{\sigma^k}{2}, \quad S_I^{\alpha i} \equiv -i \frac{\sigma^i}{2}, \quad \text{y}$$

$$S_D^{ij} \equiv \epsilon^{ijk} \frac{\sigma^k}{2}, \quad S_D^{\alpha i} \equiv +i \frac{\sigma^i}{2}, \quad \text{respectivamente.}$$

sobre todo al hablar de "superesimetría"

Otra notación común para los espinores de Weyl es

$$\Psi = \begin{pmatrix} \Psi_\alpha \\ \bar{\chi}^\dot{\alpha} \end{pmatrix} \quad \text{con } \alpha = 1/2, \text{ conocida como notación de van der Waerden.}$$

La razón por la cual mucha veces empaquetamos a los espinores de Weyl Ψ_I y Ψ_D en un solo espinor de Dirac Ψ , en lugar de considerarlos por separado, es que la transformación de paridad, $P \notin SO(3,1)$, se implementa con $\Upsilon^\alpha = \begin{pmatrix} 0 & 1 \\ 1 & 0 \end{pmatrix}$:

$$\begin{pmatrix} 1 & 0 \\ 0 & -1 \end{pmatrix} \text{ inversa espacial}$$

bajo $x^\mu = P^\mu{}_\nu x^\nu$ se tiene $\Psi' = \Upsilon^\alpha \Psi$,

y este intercambia $\Psi_I \leftrightarrow \Psi_D$.

Otra razón es que cuando consideramos partículas de spin $1/2$ en masa, el término de masa es del tipo $-m \Psi_I^\dagger \Psi_D$.)

Conviene definir a la matriz de quiralidad

$$\gamma^5 \equiv i \gamma^0 \gamma^1 \gamma^2 \gamma^3$$

que satisface

$$(\gamma^5)^2 = -\gamma^0 \gamma^1 \gamma^2 \gamma^3 \gamma^0 \gamma^1 \gamma^2 \gamma^3 = +1 ,$$

$$\{\gamma^5, \gamma^\mu\} = i(\gamma^0 \gamma^1 \gamma^2 \gamma^3 \gamma^\mu + \gamma^\mu \gamma^0 \gamma^1 \gamma^2 \gamma^3) = 0$$

$$(\Rightarrow [\gamma^5, S^{\mu\nu}] = 0)$$

En la base de Weyl se encuentra que γ^5 es diagonal,

$$\gamma^5 = \begin{pmatrix} -1 & 0 \\ 0 & 1 \end{pmatrix} ,$$

así que $\begin{cases} (\Psi_I) \\ (0) \\ (0) \\ (\Psi_D) \end{cases}$ tienen quiralidad $\begin{cases} \text{negativa} \\ \text{positiva} \end{cases}$

De hecho, dado un espínor de Dirac en cualquier base,

podemos definir

\leftarrow relevante para el sector SU(2) del Modelo Estándar

$$\Psi_I \equiv \frac{1}{2}(1 - \gamma^5)\Psi , \quad \Psi_D \equiv \frac{1}{2}(1 + \gamma^5)\Psi$$

y tendremos entonces la descomposición $\Psi = \Psi_I + \Psi_D$

$$\text{con } \gamma^5 \Psi_I = \frac{1}{2}(\gamma^5 - 1)\Psi = -\Psi_I ,$$

$$\gamma^5 \Psi_D = \frac{1}{2}(\gamma^5 + 1)\Psi = +\Psi_D .$$

Dado un espínor de Dirac $\Psi = \begin{pmatrix} \Psi_1 \\ \Psi_2 \\ \Psi_3 \\ \Psi_4 \end{pmatrix}$ ($\Psi \xrightarrow{\wedge} M(\Lambda)\Psi$),

puede mostrarse que su conjunto de Dirac

$$\bar{\Psi} \equiv \Psi^\dagger \gamma^0$$

transforma como $\bar{\Psi} \rightarrow \bar{\Psi} M^{-1}$

$$\Gamma (\Psi_1^* \Psi_2^* \Psi_3^* \Psi_4)$$

así que $\bar{\Psi} \Psi = \Psi_a^* \gamma^0_{ab} \Psi_b$ (o más en general, $\bar{\Psi} \Psi$) es un escalar.

Puede mostrarse también que

$\underbrace{\bar{\Psi} \gamma^\mu \Psi}$ es un vector, $\bar{\Psi} \gamma^\mu \gamma^\nu \Psi$ un tensor (2,0), etc.

$$\Psi_a^* \gamma^0_{ab} \gamma^\mu_{bc} \Psi_c$$

De esta información entenderemos de inmediato que el lagrangiano natural para un campo de Dirac libre es

$$\mathcal{L}_D = i\bar{\Psi} \gamma^\mu \partial_\mu \Psi - m \bar{\Psi} \Psi$$

Lagrangiano de
Dirac

Es necesario para que la acción sea real

$$= \bar{\Psi} (i\gamma^\mu \partial_\mu - m) \Psi$$

$\Gamma = \gamma^\mu \partial_\mu$ operador (diferencial) de Dirac

Conviene considerar a Ψ y $\bar{\Psi}$ (en lugar de Ψ^+) como variables independientes, es decir,

$$\mathcal{L}_0(\Psi, \partial_\mu \Psi, \bar{\Psi}, \partial_\mu \bar{\Psi}) = \bar{\Psi} (i \gamma^\mu \partial_\mu - m) \Psi.$$

Al calcular la ecuación de Euler-Lagrange para $\bar{\Psi}$, claramente obtenemos como ecuación de movimiento

$$(i \gamma^\mu \partial_\mu - m) \bar{\Psi} = 0$$

$\curvearrowleft_{m \neq 0}$

Ecuación de
Dirac

Y la ec. de E-L para Ψ arroja $-i \partial_\mu \bar{\Psi} \gamma^\mu - m \bar{\Psi} = 0$,

que no es otra que la versión conjugada de la ec. de Dirac.

Podemos ver ahora que si actuamos sobre la ec. de Dirac con el operador diferencial $(-i \gamma^\nu \partial_\nu - m)$ desde la izquierda, obtenemos

$$\begin{aligned} 0 &= (-i \gamma^\nu \partial_\nu - m) (i \gamma^\mu \partial_\mu - m) \Psi \\ &= (\gamma^\nu \gamma^\mu \partial_\nu \partial_\mu + m^2) \Psi \\ &= \left(\frac{1}{2} \{ \gamma^\nu, \gamma^\mu \} \partial_\nu \partial_\mu + m^2 \right) \Psi \\ &= (\eta^{\mu\nu} \partial_\nu \partial_\mu + m^2) \Psi, \\ &= (\partial^2 + m^2) \Psi \quad \text{!Klein-Gordon!} \end{aligned}$$

Ast que las soluciones a la ecuación de Dirac son en automático también soluciones a la ecuación de Klein-Gordon (tal como esperábamos para dar lugar a la orden planar que estaremos asociando a partículas libres con masas m);

$$\gamma^{\mu} \partial_{\mu} \rightarrow \Psi_I(x) = \frac{i}{m} \sigma^{\mu} \partial_{\mu} \Psi_D(x)$$

pero satisfagan demás $(i\vec{\gamma} \cdot \vec{p} - m) \Psi(x) = 0$ como restrictión adicional: éstas son 4 condiciones impuestas sobre los 4 minoror complejos ($\leftrightarrow 8$ reales) que tenemos en cada lugar, de modo que el número de grados de libertad se reduce a la mitad.

Esto es importante físicamente: el campo de Dirac para p.ej. el electrón debe describir 4 grados de libertad = 2 estados de espín para el electrón + 2 para el antielectrón, no 8. (Notar que estos eliminación de variables es impuesta en automático por la ec. de movimiento, y es por tanto cualitativamente distinta a la redundancia que tenemos para campo de norma A_{μ} con el potencial electromagnético - pp. 66-68.)

Al cuantizar el campo de Dirac, estos restricciones (visibles p.ej. en el hecho de que $\nabla \bar{\Psi} = \partial L_0 / \partial \dot{\bar{\Psi}} = 0$) implican una pequeña modificación del procedimiento de cuantización cuántica (deberemos promover a cuantificar no a los parámetros de Poisson, sino a los "parámetros de Dirac").

Pero la principal novedad es que, después de descomponer en ondas planas y obtener las operaciones de creación/annihilation

expander,

$\leftarrow s=1, 2$ etiquetas estás la expresión

$$\hat{\Psi}(x) = \int \frac{d^3 p}{(2\pi)^3} \frac{1}{\sqrt{2E_p}} \sum_{s=1}^2 \left(\hat{a}_{\vec{p}}^s U_s(p) e^{-ip \cdot x} + \hat{b}_{\vec{p}}^{s\dagger} V_s(p) e^{ip \cdot x} \right) \Big|_{p^0 = E_p},$$

\curvearrowleft etiquetas soluciones en el orden

$$- \quad \hat{\bar{\Psi}}(x) = \int \frac{d^3 p}{(2\pi)^3} \frac{1}{\sqrt{2E_p}} \sum_{s=1}^2 \left(\hat{a}_{\vec{p}}^{s\dagger} \bar{U}_s(p) e^{ip \cdot x} + \hat{b}_{\vec{p}}^s \bar{V}_s(p) e^{-ip \cdot x} \right) \Big|_{p^0 = E_p},$$

con $\hat{a}_{\vec{p}}^s$, $\hat{b}_{\vec{p}}^{s\dagger}$ respectivamente operadores de creación de partículas (p.ej. electrón) y anticreación (antielectrón), una densidad que existen estás con energía arbitrariamente negativa, a menor de que una efectúe la anticanitación canonica impidiendo relación de anticomutación en lugar de cuantización,

$$\{ \hat{\Psi}(\vec{x}, t), \hat{\Psi}^\dagger(\vec{x}', t') \} = \delta^{(3)}(\vec{x} - \vec{x}') \mathbb{1},$$

$$\{ \hat{\Psi}(\vec{x}, t), \hat{\Psi}(\vec{x}', t') \} = 0$$

$$\longleftrightarrow \{ \hat{a}_{\vec{p}}^s, \hat{a}_{\vec{p}'}^{s\dagger} \} = (2\pi)^3 \delta^{(3)}(\vec{p} - \vec{p}') \delta^{ss'} = \{ \hat{b}_{\vec{p}}^s, \hat{b}_{\vec{p}'}^{s\dagger} \},$$

$$\{ \hat{a}_{\vec{p}}^s, \hat{a}_{\vec{p}'}^{s'} \} = \{ \hat{a}_{\vec{p}}^s, \hat{b}_{\vec{p}'}^{s'} \} = 0 = \{ \hat{a}_{\vec{p}}^s, \hat{b}_{\vec{p}'}^{s\dagger} \} = \{ \hat{b}_{\vec{p}}^s, \hat{b}_{\vec{p}'}^{s'} \} .$$

Es decir, descubrir que las partículas de spin $\frac{1}{2}$
 (\leftrightarrow) propiedades de transformación bajo Lorentz) deben ser
necesariamente fermiones ($\leftrightarrow \hat{a}_1^\dagger \hat{a}_2^\dagger |0\rangle = -\hat{a}_2^\dagger \hat{a}_1^\dagger |0\rangle$),
y con ello explicar el principio de exclusión de Pauli
($\{\hat{a}_{\vec{p}s}^\dagger, \hat{a}_{\vec{p}'s}^\dagger\} = (\hat{a}_{\vec{p}s}^\dagger)^2 = 0 \Rightarrow \hat{a}_{\vec{p}s}^\dagger |\vec{p}s\rangle = 0$).

Con todo lo anterior, tenemos ya suficiente elementos para aceptar campo de norma (Maxwell o Yang-Mills) a la compresión de Dirac, y con ello entender las partículas en la electrodinámica cuántica (QED),

$$\mathcal{L}_{QED} = \mathcal{L}_{\text{Maxwell}}(\partial_\mu A_\nu) + \mathcal{L}_{\text{Dirac}}(\psi, \partial_\mu \psi, \bar{\psi})$$

$$\Gamma = \partial_\mu + iA_\mu$$

\Rightarrow invariancia local U(1)

y similarmente la cromodinámica cuántica (QCD)

$$\mathcal{L}_{QCD} = \mathcal{L}_{YM}(\partial_{\mu\alpha\beta} A_{\nu\alpha\beta}) + \mathcal{L}_{\text{Dirac}}(\psi_I, (\partial_\mu \psi)_I, \bar{\psi}_I)$$

$$\Gamma = \partial_\mu + iA_{\mu\alpha\beta}$$

\Rightarrow invariancia local SU(3)